

北見工業大学	正員	奥村 勇
北海学園大学	正員	本多祐也
北海道大学	正員	芳村 仁

1. まえがき 比較的厚、平板の解析には、Reissner, Mindlin, Pan eing および Love の理論など種々見受けられ、それらに基づいて矩形平板あるいは円形平板の解析は古くより多数報告されてる。また、厳密な三次元弾性論に基づいて解析も最近報告されてるが、比較的厚、扇形平板の解析はあまり見当らないようである。

著者らは、先に、部分分布荷重を担い、全周辺単純支持の比較的厚、扇形平板の曲げについて報告したが、今回、2円弧辺自由、2直線辺単純支持の扇形平板の曲げについて報告する。解法の特徴は、3次元応力解と一般化平面応力解との重ね合わせで、荷重条件および境界条件を満足するように試みたものであり、変位あるは応力成分に関しては、なんらの仮定をも設けてない。

2. 3次元応力解 円筒座標系 (r, θ, z) におけるフリーハーモニクスの解は、次式のように表わされる。

$$2G\psi = -\text{grad}(\bar{\psi}_z + \frac{1}{r}(1-\nu)\bar{\psi}_\theta) + z(1-\nu)\bar{\psi}_r + 2\nu z^2 \partial_z \psi \quad \dots \dots \dots \quad (1)$$

$$\therefore \psi = (u, v, w), P = (r, \theta, z), \bar{\psi} = (\bar{\psi}_r, \bar{\psi}_\theta, \bar{\psi}_z), \partial_z = (0, 0, \partial_z) \quad \left. \begin{array}{l} \bar{\psi}_r = 0, \bar{\psi}_{z\theta} = 0, \bar{\psi}_{zz} = 0, \bar{\psi}_{\theta\theta} = 0, \\ \bar{\psi}_{rr} = \frac{\partial^2 \bar{\psi}}{\partial r^2} + (\frac{1}{r})^2 \bar{\psi}_{\theta\theta} + (\frac{1}{r})^2 \bar{\psi}_{zz} + \frac{\partial^2 \bar{\psi}}{\partial z^2} \end{array} \right\} \quad \dots \dots \dots \quad (2)$$

式(2)より変位ポテンシャルを求め、式(1)に代入すれば変位成分が求められる。変位成分よりひずみ成分を求め、円筒座標系におけるひずみと応力成分との関係を用いれば、応力成分の表現が得られるか、それらについては省略する。

3. 一般化平面応力解 円筒座標系における一般化平面応力解は、フリーハーモニクスおよび適合条件式より求めることができる。すなばく、板の中央面に置き、板厚を δ として、 z の正の向きを上向きに取り、平面応力解に属する項を最初よりはずすと次のようである。

$$\bar{\psi} = \bar{\psi}_{rr} + \bar{\psi}_{\theta\theta} + \bar{\psi}_{zz} = \bar{\psi}_r, \bar{\psi}_{\theta\theta} = 0, \bar{\psi}_{zz} = \frac{\partial^2 \bar{\psi}}{\partial r^2} + (\frac{1}{r})^2 \bar{\psi}_{\theta\theta} + (\frac{1}{r})^2 \frac{\partial^2 \bar{\psi}}{\partial z^2} \quad \dots \dots \dots \quad (3)$$

$$X' = z\bar{\psi}'_r + \frac{2-\nu}{6(1+\nu)} z^2 \bar{\psi}_r, \bar{\psi}_{\theta\theta} = -\frac{1-\nu}{1+\nu} z\bar{\psi}_r, \bar{\psi}_{zz} = -\frac{1-\nu}{1+\nu} \bar{\psi}_r \quad \dots \dots \dots \quad (4)$$

応力成分および曲げモーメントは、たとえば、次のようである。

$$\sigma_{rr} = \frac{z}{1+\nu} \bar{\psi}_r + \frac{1}{r} \frac{\partial \bar{\psi}_r}{\partial r} + \frac{1}{r^2} \frac{\partial^2 \bar{\psi}_r}{\partial z^2}, \sigma_{\theta\theta} = \frac{z}{1+\nu} \bar{\psi}_r + \frac{\partial^2 \bar{\psi}_r}{\partial r^2}, \sigma_{rz} = -\frac{\partial}{\partial r} \left(\frac{1}{r} \frac{\partial \bar{\psi}_r}{\partial z} \right) \quad \dots \dots \dots \quad (5)$$

$$M_r = \int_{-\frac{1}{2}}^{\frac{1}{2}} z \sigma_{rr} dz = \frac{h^3}{12(1+\nu)} \bar{\psi}_r + \left(\frac{1}{r} \frac{\partial}{\partial r} + \frac{1}{r^2} \frac{\partial^2}{\partial z^2} \right) \left\{ \frac{h^3}{12} \bar{\psi}'_r + \frac{2-\nu}{15(1+\nu)} \left(\frac{h}{2} \right)^2 \bar{\psi}_r \right\}$$

$$= -D \left\{ \frac{\partial^2 w_0}{\partial r^2} + \nu \left(\frac{1}{r} \frac{\partial w_0}{\partial r} + \frac{1}{r^2} \frac{\partial^2 w_0}{\partial z^2} \right) \right\} + \frac{8+\nu}{40} D h^2 \left(\frac{1}{r} \frac{\partial}{\partial r} + \frac{1}{r^2} \frac{\partial^2}{\partial z^2} \right) \left(\frac{\partial^2 w_0}{\partial r^2} \right) \quad \dots \dots \dots \quad (6)$$

$$\therefore w_0 \equiv w(r, \theta, 0), \bar{\psi}_{\theta\theta} = 0, D = E h^3 / 12(1-\nu^2)$$

4. 境界条件 図-1に示した、 $\theta = \pm \nu$ の2直線辺が単純支持、 $r=a$ 、 θ の2円弧辺が自由で、中央に部分分布荷重を担う扇形平板について考えると、境界条件は次のようになる。

$$\theta = \pm \nu \text{ において } w=0, u=0, T_{\theta\theta}=0, M_\theta=0 \quad \dots \dots \dots \quad (7)$$

$$r=a, \theta \text{ において } T_{rr}=0, S_{rr}=0, M_r=0, V_r=0 \quad \dots \dots \dots$$

$\therefore T_{rr} = \int_{-\frac{1}{2}}^{\frac{1}{2}} \sigma_{rr} dz, S_{rr} = \int_{-\frac{1}{2}}^{\frac{1}{2}} \sigma_{\theta\theta} dz, M_r = \int_{-\frac{1}{2}}^{\frac{1}{2}} \sigma_{rz} dz$ である。また、荷重条件は

$$(\bar{\psi}_{zz})_{z=\pm\frac{1}{2}} = -P(r, \theta), (\bar{\psi}_{zz})_{z=-\frac{1}{2}} = 0, (\bar{\psi}_{zz})_{z=\pm\frac{1}{2}} = 0, (\bar{\psi}_{\theta\theta})_{z=\pm\frac{1}{2}} = 0 \quad \dots \dots \dots \quad (8)$$

であり、3次元応力解によつて満足されてるものとする。上式における $P(r, \theta)$ は部分分布荷重を Dini 展開

したものである。

5. 数値計算例 計算例として、 $\theta = \pi/4$, $\delta = \pi/16$, $b/a = 8.0$, $d/a = 7.0$, $c = d/4$ の扇形平板について、辺長と板厚との比 $e = d/h$ を種々変えて計算した。また、ボアソン比 ν は 0.17 とした。図-2 には、 $\theta = 0$ における曲げモーメント M_r の分布を示した。扇形平板の中央点 ($\theta = 0$, $r/a = 9/2$) において、薄板理論による値と比較すると、 $e = 5.0, 8.0, 10.0, 12.0$ について、それを $7.0\%, 2.7\%, 1.8\%$ および 1.2% の相異であり、 $e = 8.0$ 以上においては、 e の相異が M_r にあまりぼく影響は小さくようである。曲げモーメント M_r における相異は、 M_r における相異よりさらに小さくなっている。図-3 には、 $e = 8.0$ の場合の $r/a = 9/2$ における σ_{rr} の板厚方向の分布を示した。 $\theta = 0$ においては、薄板理論による値とわずかに相異があるが $\theta = \pi/8$ においては、両者はほぼ一致する。図-4 には、 $e = 8.0$ の場合の $\theta = 0$ における $\sigma_{\theta\theta}$ の板厚方向の分布を示した。 $r/a = 9/2$ においては、薄板理論による値と小となる相異を示していが、 $r/a = 25/4$ においては、両者はほとんど一致している。荷重直下における応力成分の値が薄板理論と厚板理論とでは異なることは、すでに報告されているが、著者らの解析結果もそのことを示してある。本報告で示した比較的厚い平板の解析方法の正確さについては、今後、厳密な三次元弾性論に基づいた解析結果と比較して検討する。

(注) 岩村 勇・
本多祐也・岩村
仁：比較的厚い扇
形平板の曲げ解
析について、土木學
会北海道支部論文
報告集、第 35 号、
PP. 57

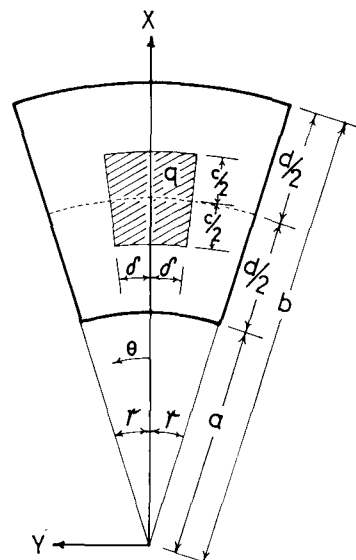


図-1 比較的厚い扇形平板

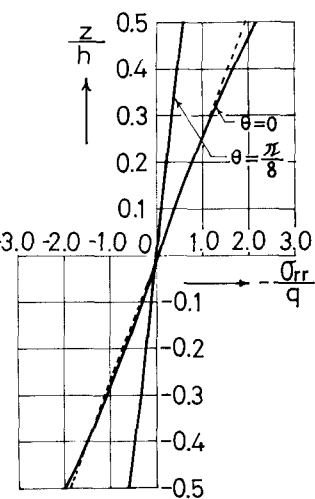


図-3 $r/a = 9/2$ における σ_{rr} の分布

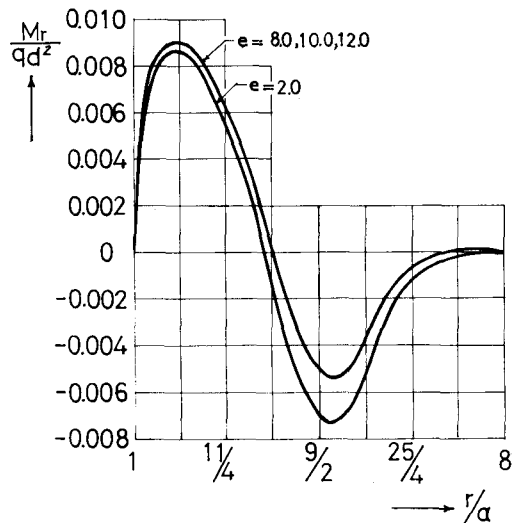
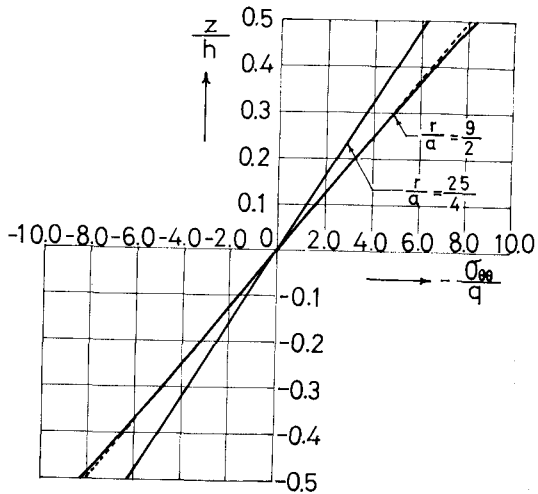


図-2 $\theta = 0$ における M_r の分布



—: Theory of moderately thick plates
---: Theory of thin plates

図-4 $\theta = 0$ における $\sigma_{\theta\theta}$ の分布